

А. И. Храбров

ИНЪЕКТИВНЫЕ ДОКАЗАТЕЛЬСТВА ЛОГАРИФМИЧЕСКОЙ ВОГНУТОСТИ НЕКОТОРЫХ КОМБИНАТОРНЫХ ПОСЛЕДОВАТЕЛЬНОСТЕЙ

§1. ВВЕДЕНИЕ

В перечислительной комбинаторике возникает множество целочисленных рекуррентных последовательностей, связанных с подсчетом числа комбинаторных конструкций того или иного вида. В большинстве своем для этих последовательностей не существует явных формул, поэтому важной информацией об их поведении являются асимптотические разложения. Однако комбинаторные последовательности обычно экспоненциального роста, поэтому асимптотические формулы имеют существенную погрешность. В связи с этим для понимания поведения конкретной последовательности оказывается полезным наличие у нее логарифмической выпуклости или вогнутости (т. е. монотонности отношения соседних ее членов). Логарифмическая выпуклость исследовалась также и у двухпараметрических комбинаторных чисел. Так для чисел Стирлинга первого и второго рода она была установлена в работах [19] и [23], для числовых треугольников, заданных двучленным рекуррентным соотношением и, в частности, для чисел Эйлера в статье [22]. Обсуждению вопросов, связанных с логарифмической выпуклостью комбинаторных последовательностей, посвящены статьи Бренти [9] и Стенли [29]. Логарифмическая выпуклость чисел Моцкина была доказана аналитически Айгнером [2] и чуть позже комбинаторно Калланом [11]. Для большого количества комбинаторных последовательностей, удовлетворяющих трехчленным рекуррентным соотношениям (например, чисел Файна, Шрёдера и Риордана см. [3]) логарифмическая выпуклость была установлена в работах [24, 33, 34] аналитически и в работе [30] комбинаторно (для чисел Шрёдера это ранее было сделано в работе [16]), для некоторых других популярных комбинаторных последовательностей в работах [5, 8, 12, 17]. Для числа

Ключевые слова: логарифмическая выпуклость, обобщенные числа Каталана, вторичные структуры РНК.

вторичных структур РНК логарифмическая выпуклость доказана аналитически в работе [14], а для некоторых других обобщений чисел Каталана — в работах [15, 31]. Различные комбинаторные доказательства логарифмической выпуклости можно найти в работах [6, 18, 21, 26]. Много информации, связанной с логарифмической выпуклостью комбинаторных последовательностей, приводится в монографии Мезё [25] и обзорах [7, 29]. Обсуждение преобразований, сохраняющих логарифмическую выпуклость последовательностей, есть в работе [24].

§2. ФОРМУЛИРОВКИ И ОПРЕДЕЛЕНИЯ

Определение. Последовательность неотрицательных чисел a_0, a_1, a_2, \dots называется *логарифмически выпуклой*, если для любого n выполняется неравенство $a_n^2 \leq a_{n-1}a_{n+1}$. Если же для любого n выполняется неравенство $a_n^2 \geq a_{n-1}a_{n+1}$, то последовательность называется *логарифмически вогнутой*.

Определение треугольников $a_{i,j}$ и $b_{i,j}$. Для заданных положительных чисел q, r, s и t построим два числовых треугольника.

Треугольник $a_{i,j}$ задается рекуррентным соотношением

$$a_{i+1,j+1} = qa_{i-1,j-1} + ra_{i-1,j} + sa_{i,j-1} + ta_{i,j} \quad \text{при } i, j \geq 0 \quad (1)$$

и граничными условиями: $a_{0,0} = 1$ и $a_{i,j} = 0$ при

- 1) при $i < j$;
- 2) при $j \leq 0$ за исключением случая $i = j = 0$.

Треугольник $b_{i,j}$ задается тем же рекуррентным соотношением

$$b_{i+1,j+1} = qb_{i-1,j-1} + rb_{i-1,j} + sb_{i,j-1} + tb_{i,j} \quad \text{при } i, j \geq 0, \quad (2)$$

но другими граничными условиями: $b_{0,0} = 1$ и $b_{i,j} = 0$ при $i \leq 0$ или $j \leq 0$, за исключением случая $i = j = 0$.

Замечание. Для случая $q = s = t = 1$ треугольники приведены на рис. 1 (полностью нулевые строки и диагонали опущены). Главная диагональ треугольника $a_{i,j}$ (т. е. последовательность $a_{i,i}$) дает количества вторичных структур РНК (последовательность A004148 из [35]). Это одно из обобщений чисел Каталана, рекуррентное соотношение для диагонали

$$a_{n+1,n+1} = a_{n,n} + a_{1,1}a_{n-2,n-2} + a_{2,2}a_{n-3,n-3} + \dots + a_{n-1,n-1}a_{0,0}.$$

Соседняя диагональ $a_{i+1,i}$ — последовательность A166297 из [35].

ломанных из $\mathcal{M}_{i,j}$, то есть

$$a_{i,j} = \sum_{P \in \mathcal{M}_{i,j}} w(P). \quad (3)$$

Аналогично для треугольника $b_{i,j}$ будем рассматривать ломаные с весом из $\mathcal{N}_{i,j}$. Тогда

$$b_{i,j} = \sum_{P \in \mathcal{N}_{i,j}} w(P). \quad (4)$$

Теорема 1. Если $q \leq t^2$ и $rs \leq qt$, то при любом фиксированном n последовательность $c_k = b_{n-k, n+k}$ логарифмически вогнута.

Теорема 2. Если $q \leq t^2$ и $rs \leq qt$, то при любом фиксированном j последовательность $b_{i,j}$ логарифмически вогнута по i .

Теорема 3. Если $q \leq t^2$ и $rs \leq qt$, то при любом фиксированном i последовательность $b_{i,j}$ логарифмически вогнута по j .

Теорема 4. Если $rs \leq qt$ и $q^2 \leq rst$, то последовательность $a_{i,i}$ логарифмически выпукла. Если $q \leq t^2$ и $rs \leq qt$, то последовательность $a_{i,i}$ логарифмически выпукла при больших i .

Замечание. Из условий $rs \leq qt$ и $q^2 \leq rst$ следует условие $q \leq t^2$.

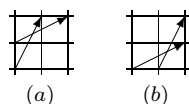
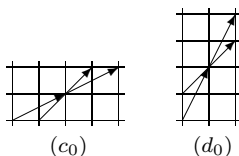
Теорема 5. Если $q \leq t^2$ и $rs \leq qt$, то при любом фиксированном j последовательность $a_{i,j}$ логарифмически вогнута по i .

Замечание. Поскольку естественная запись треугольника $b_{i,j}$ повернута на 135° по часовой стрелке относительно рис. 1 (как, например, у треугольника Паскаля) диагонали $i + j = \text{const}$ соответствуют строкам повернутого треугольника. Таким образом, теорема 1 утверждает логарифмическую вогнутость строк повернутого треугольника, что является достаточно полезной информацией о поведении элементов данного треугольника (аналогично логарифмической вогнутости биномиальных коэффициентов C_n^k по верхнему индексу).

§3. ИНЪЕКТИВНЫЕ ДОКАЗАТЕЛЬСТВА ТЕОРЕМ

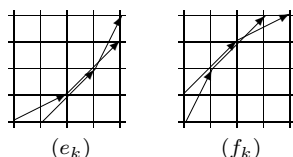
Классификация пересечений ломаных. Рассмотрим две не имеющие общих вершин ломаные P и Q со звеньями, изображенными на рис. 2, такие, что вершины ломаной P лежат по разные стороны от ломаной Q . У этих ломаных обязательно есть пересечения. Они могут быть одноточечными, а могут состоять из общего участка.

1) *Одноточечные пересечения.* Рассмотрим звено ломаной P , во внутренней точке которого происходит пересечение. Им не может быть звено t . Звено s может пересекаться только со звеном r и таких пересечений два вида (см. рис. 3). Звено q может пересекаться с ломаной Q только в своей середине, и таких пересечений два вида (см. рис. 4).

Рис. 3. Пересечения звеньев r и s Рис. 4. Пересечения звена q .

2) *Ломаные с общим участком.* Этот участок должен быть прямым и составленным из нескольких подряд идущих звеньев q (иначе у ломаных найдется общая вершина). Он может быть образован пересечением частей ломаных, у которых количества звеньев q а) одинаковы; б) отличаются на 1.

а) Пусть в участках по k звеньев q и участок ломаной P начинается раньше. Тогда в начало прямого участка ломаной Q должно прийти звено r или s , а из конца прямого участка ломаной P должно уйти звено такого же вида (в противном случае ломаные P и Q на этом участке лишь соприкасаются, но не пересекаются). Поэтому возможны два случая (см. рис. 5).

Рис. 5. Участок с одинаковым количеством звеньев q для $k = 1$.

б) Пусть у ломаной P будет k звеньев q , у ломаной Q будет $k + 1$ звено q . Тогда в начало участка ломаной P должно прийти звено r или

s , а из конца участка ломаной P должно уйти звено такого же вида. Поэтому возможны лишь два случая (см. рис. 6). Отметим, что эти случаи отличаются от случаев (c_0) и (d_0) добавлением по k звеньев q в каждую ломаную.

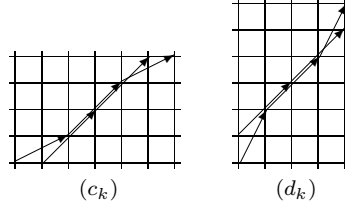


Рис. 6. Участок с разным количеством звеньев q для $k = 1$.

Доказательство теоремы 1. Достаточно установить неравенство $b_{i,j}^2 \geq b_{i-1,j+1}b_{i+1,j-1}$. С помощью соотношения (4) оно может быть записано в виде

$$\begin{aligned} \left(\sum_{P \in \mathcal{N}_{i,j}} w(P) \right)^2 &= w(\mathcal{N}_{i,j})^2 \geq w(\mathcal{N}_{i-1,j+1})w(\mathcal{N}_{i+1,j-1}) = \\ &= \sum_{P \in \mathcal{N}_{i-1,j+1}} w(P) \sum_{Q \in \mathcal{N}_{i+1,j-1}} w(Q), \end{aligned}$$

или, что тоже самое,

$$\sum_{(P',Q') \in \mathcal{N}_{i,j} \times \mathcal{N}_{i,j}} w(P')w(Q') \geq \sum_{(P,Q) \in \mathcal{N}_{i-1,j+1} \times \mathcal{N}_{i+1,j-1}} w(P)w(Q).$$

Для каждой пары ломаных (P, Q) из $\mathcal{N}_{i-1,j+1} \times \mathcal{N}_{i+1,j-1}$ ломаную P отложим с началом в точке $(0, 0)$, а ломаную Q с началом в точке $(-1, 1)$. Тогда ломаная P закончится в точке $(i-1, j+1)$, а ломаная Q — в точке (i, j) (см. левую часть рис. 7). Поскольку ломаные не выходят за пределы полосы $-1 \leq x \leq i$, а точки $(0, 0)$ и $(i-1, j+1)$ находятся по разные стороны от ломаной Q , ломаные P и Q должны иметь точку пересечения.

Разобьем множество $\mathcal{N}_{i-1,j+1} \times \mathcal{N}_{i+1,j-1}$ на подмножества \mathcal{A} и \mathcal{B} . В множество \mathcal{A} поместим все пары ломаных, которые имеют общую вершину, а остальные пары ломаных поместим в множество \mathcal{B} . Аналогично разобьем множество $\mathcal{N}_{i,j} \times \mathcal{N}_{i,j}$ на подмножества \mathcal{A}' и \mathcal{B}' .

Докажем, что $w(\mathcal{A}) = w(\mathcal{A}')$ и $w(\mathcal{B}) \leq w(\mathcal{B}')$.

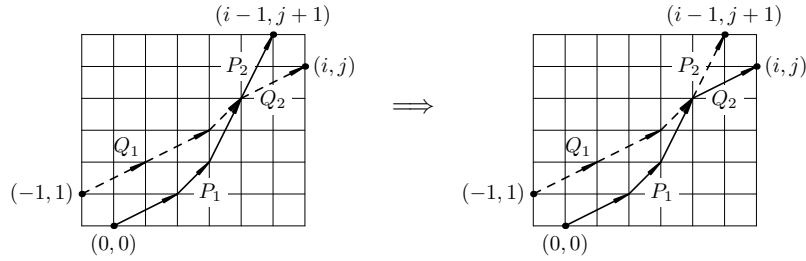


Рис. 7. Перестройка ломаных P и Q , имеющих общую вершину (ломаные Q и Q' проведены пунктиром).

Рассмотрим пару ломаных, принадлежащую \mathcal{A} . Пусть p их первая общая вершина (см. рис. 7). Обозначим части ломаных P и Q , на которые она их разбивает через P_1, P_2 и Q_1, Q_2 . Тогда ломаная P' , составленная из P_1 и Q_2 , начинается в точке $(0, 0)$, а заканчивается в точке (i, j) , поэтому она лежит в $\mathcal{N}_{i,j}$. Ломаная Q' , составленная из Q_1 и P_2 , начинается в точке $(-1, 1)$, а заканчивается в точке $(i-1, j+1)$, значит, она также лежит в $\mathcal{N}_{i,j}$. Кроме того $(P', Q') \in \mathcal{A}'$ и

$$w(P')w(Q') = w(P_1)w(Q_2)w(Q_1)w(P_2) = w(P)w(Q).$$

Стало быть, $w(\mathcal{A}) = w(\mathcal{A}')$.

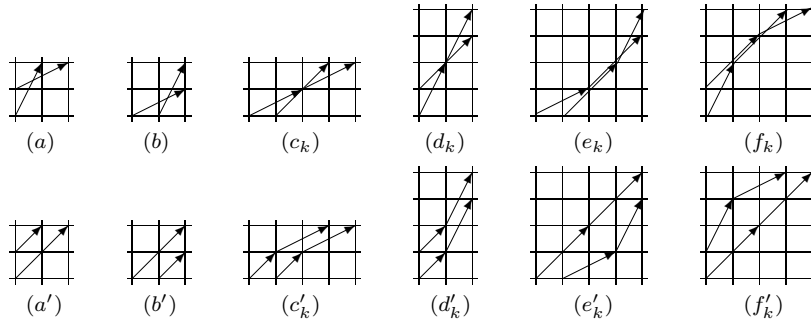


Рис. 8. Переключения звеньев ломаных¹.

¹В случае произвольного k переключения выглядят так:
 для (c_k) пара $(rq^k r, q^{k+1})$ заменяется на пару $(tq^k r, tq^k r)$;
 для (d_k) пара $(sq^k s, q^{k+1})$ заменяется на пару $(tq^k s, tq^k s)$;
 для (e_k) пара $(rq^k, q^k s)$ заменяется на пару $(q^{k+1}, rq^{k-1} s)$;
 для (e_k) пара $(sq^k, q^k r)$ заменяется на пару $(q^{k+1}, sq^{k-1} r)$.

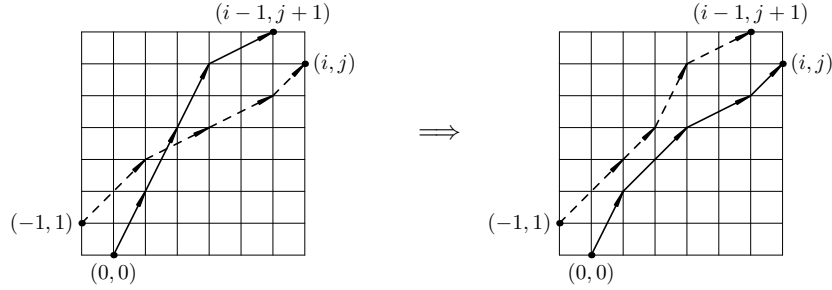


Рис. 9. Переключение $(a) \leftrightarrow (a')$ ломаных, не имеющих общей вершины.

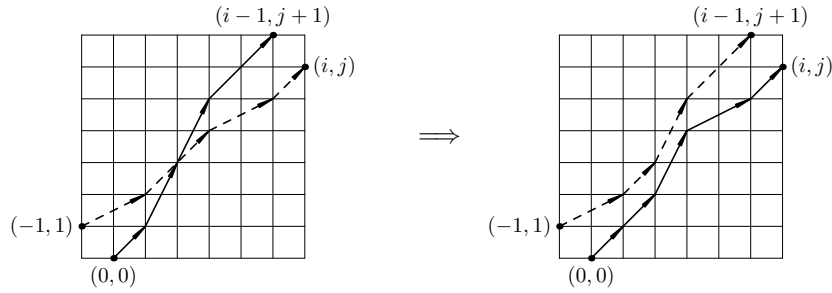


Рис. 10. Переключение $(d_0) \leftrightarrow (d'_0)$ ломаных, не имеющих общей вершины.

Далее докажем, что $w(\mathcal{B}) \leq w(\mathcal{B}')$. Рассмотрим пару ломаных (P, Q) , принадлежащую \mathcal{B} . Поскольку у ломаных есть общие точки, у них есть один из фрагментов $(a)-(f)$, изображенных на рис. 8. Отметим, что никакие из 12 приведенных фрагментов не могут накладываться друг на друга. Поэтому переключения в таких фрагментах можно делать независимо. Сделаем всевозможные как прямые, так и обратные переключения фрагментов $(a) \leftrightarrow (a')$, \dots , $(f_k) \leftrightarrow (f'_k)$ (см. рис. 9 и 10). Если сделано четное число переключений, то ломаная будет лежать в \mathcal{B} , а если нечетное, то в \mathcal{B}' . Обозначим множество пар ломаных с четным и нечетным числом переключений через $\mathcal{E}(P, Q)$ и $\mathcal{O}(P, Q)$.

Для переключений (a) и (b) вес rs меняется на qt ; (c_k) вес $q^{2k+1}r^2$ меняется на $q^{2k}r^2t^2$; (d_k) вес $q^{2k+1}s^2$ меняется на $q^{2k}s^2t^2$; (e_k) и (f_k) вес $q^{2k}rs$ не изменяется. Следовательно, разность между суммой весов при нечетном числе переключений и при четном числе переключений

равна произведению веса не затрагиваемых переключениями частей ломаных и некоторого количества скобок вида

$$(qt - rs), \quad q^{2k} r^2 (t^2 - q) \text{ и } q^{2k} s^2 (t^2 - q).$$

Поскольку произведение первых членов в скобках будет соответствовать паре ломаных, не имеющих общих точек, т. е. паре ломаных из $\mathcal{N}_{i,j} \times \mathcal{N}_{i,j}$, знак плюс будет соответствовать нечетному количеству переключений, а знак минус — четному. Но каждая из скобок неотрицательна, следовательно, $w(\mathcal{E}(P, Q)) \leq w(\mathcal{O}'(P, Q))$.

Возможность из одной пары ломаных (P, Q) из \mathcal{B} с помощью переключений получить другую пару ломаных (\tilde{P}, \tilde{Q}) является отношением эквивалентности на множестве \mathcal{B} . Классом эквивалентности для пары (P, Q) будет множество $\mathcal{E}(P, Q)$, поэтому \mathcal{B} разбивается на такие классы. Для двух таких классов $\mathcal{E}(P, Q)$ и $\mathcal{E}(\tilde{P}, \tilde{Q})$ множества $\mathcal{O}'(P, Q)$ и $\mathcal{O}'(\tilde{P}, \tilde{Q})$ не пересекаются. Действительно, в противном случае пары ломаных (P, Q) и (\tilde{P}, \tilde{Q}) получались бы друг из друга цепочкой переключений и, значит, лежали бы в одном классе эквивалентности. Следовательно, \mathcal{B}' разбивается в объединение классов $\mathcal{O}'(P, Q)$ и, возможно, еще некоторого количества пар ломаных, не попадающих ни в один класс. Тогда, просуммировав неравенства $w(\mathcal{E}(P, Q)) \leq w(\mathcal{O}'(P, Q))$ по всем классам эквивалентности $\mathcal{E}(P, Q)$, получим, что $w(\mathcal{B}) \leq w(\mathcal{B}')$. \square

Замечание. В случае, когда $q = t^2$ и $rs = qt$, рассуждение можно сильно упростить. Для пары ломаных (P, Q) из \mathcal{B} нужно двигаться от начала к концу в поисках первого фрагмента с рис. 8 и произвести переключение этого фрагмента. Такой фрагмент обязательно должен найтись, поскольку ломаные пересекаются, но не имеют общих вершин. Новая пара ломаных (P', Q') будет иметь тот же вес и лежать в \mathcal{B}' . Это преобразование — инъекция из \mathcal{B} в \mathcal{B}' , поэтому $w(\mathcal{B}) \leq w(\mathcal{B}')$.

Доказательство теоремы 2. Достаточно установить неравенство $b_{i,j}^2 \geq b_{i-1,j} b_{i+1,j}$. С помощью соотношения (4) оно может быть записано в виде

$$w(\mathcal{N}_{i,j})^2 \geq w(\mathcal{N}_{i+1,j}) w(\mathcal{N}_{i-1,j}).$$

Для каждой пары ломаных (P, Q) из $\mathcal{N}_{i+1,j} \times \mathcal{N}_{i-1,j}$ ломаную P отложим с началом в точке $(0, 0)$, а ломаную Q с началом в точке $(1, 0)$. Тогда ломаная P закончится в точке $(i+1, j)$, а ломаная Q — в точке (i, j) (см. рис. 11). Эти ломаные должны иметь точку пересечения.

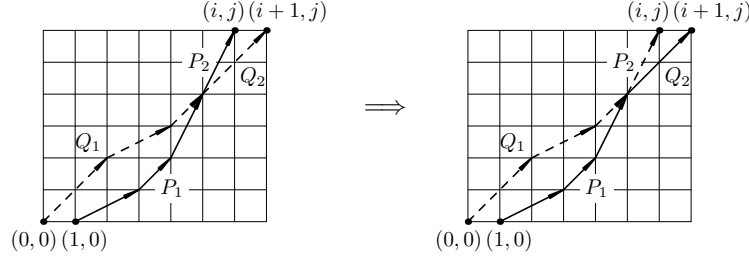


Рис. 11. Перестройка ломаных P и Q , имеющих общую вершину (ломаные Q и Q' проведены пунктиром).

Далее аналогично доказательству теоремы 1 рассмотрим подмножества \mathcal{A} , \mathcal{B} , \mathcal{A}' и \mathcal{B}' и установим равенство $w(\mathcal{A}) = w(\mathcal{A}')$ и неравенство $w(\mathcal{B}) \leq w(\mathcal{B}')$. \square

Доказательство теорем 3 и 5 аналогичны доказательству теоремы 2. \square

Доказательство теоремы 4. Достаточно установить неравенство $a_{i,i}^2 \leq a_{i-1,i-1}a_{i+1,i+1}$. Запишем его с помощью соотношения (3):

$$\left(\sum_{P \in \mathcal{M}_i} w(P) \right)^2 = w(\mathcal{M}_i)^2 \leq w(\mathcal{M}_{i-1})w(\mathcal{M}_{i+1}) = \sum_{P \in \mathcal{M}_{i+1}} w(P) \sum_{P \in \mathcal{M}_{i-1}} w(P),$$

или, что тоже самое,

$$\sum_{(P,Q) \in \mathcal{M}_i \times \mathcal{M}_i} w(P)w(Q) \leq \sum_{(P',Q') \in \mathcal{M}_{i+1} \times \mathcal{M}_{i-1}} w(P')w(Q').$$

Для каждой пары ломаных (P, Q) из $\mathcal{M}_i \times \mathcal{M}_i$ ломаную P отложим с началом в точке $(0, 0)$, а ломаную Q с началом в точке $(1, 1)$. Тогда ломаная P закончится в точке (i, i) , а ломаная Q — в точке $(i+1, i+1)$ (см. рис. 12). Эти ломаные должны иметь общую точку. Ей будет либо точка их пересечения, либо конец одной из ломаных.

Разобьем множество $\mathcal{M}_i \times \mathcal{M}_i$ на подмножества \mathcal{A} и \mathcal{B} . В множество \mathcal{A} поместим все пары ломаных, которые имеют общую вершину, а остальные пары ломаных поместим в множество \mathcal{B} . Аналогично разобьем множество $\mathcal{M}_{i-1} \times \mathcal{M}_{i+1}$ на подмножества \mathcal{A}' и \mathcal{B}' .

Равенство $w(\mathcal{A}) = w(\mathcal{A}')$ проверяется также как при доказательстве теоремы 1.

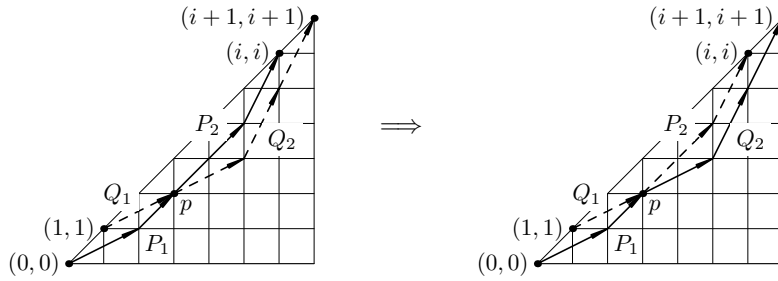


Рис. 12. Перестройка ломаных P и Q , имеющих общую вершину (ломаные Q и Q' проведены пунктиром).

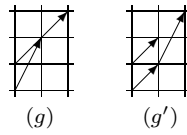
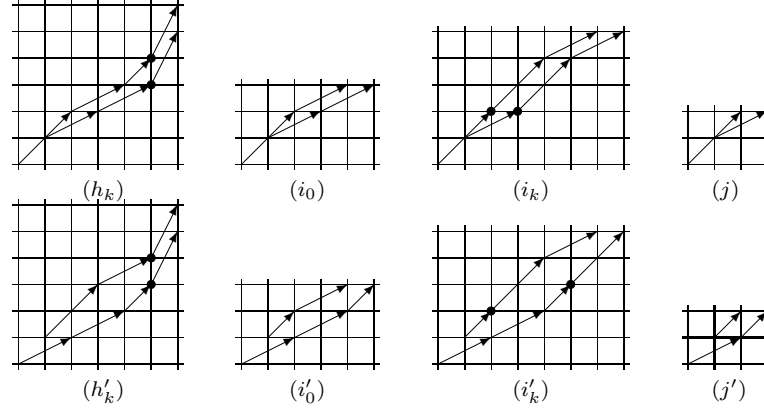


Рис. 13. Переключения конца ломаных.

Установим неравенство $w(\mathcal{B}) \leq w(\mathcal{B}')$. Рассмотрим пару ломаных (P, Q) , принадлежащую \mathcal{B} . Если ломаная P не проходит через начало ломаной Q , а ломаная Q не проходит через конец ломаной P , то у ломаных P и Q есть точка пересечения, а значит, у них есть один из фрагментов (a) – (f) , изображенных на рис. 8. Если ломаная Q проходит через конец ломаной P , то у них есть фрагмент (g) (см. рис. 13). Этот фрагмент не обязательно концевой, от него до конца у каждой ломаной еще может идти некоторое количество звеньев q . Если же ломаная P проходит через начало ломаной Q , то обязательно есть фрагмент (j) (см. рис. 14).

Назовем переключения $(a) \leftrightarrow (a')$, \dots , $(h) \leftrightarrow (h')$ и $(i_k) \leftrightarrow (i'_k)$ при $k \geq 1$ переключениями высокого приоритета. Отметим, что никакие из 22 фрагментов высокоприоритетных переключений не могут накладываться друг на друга. Поэтому эти переключения можно делать независимо.

Сделаем всевозможные как прямые, так и обратные высокоприоритетные переключения. Переключение $(i_0) \rightarrow (i'_0)$ будем делать, только если нет возможности сделать переключение $(h_k) \rightarrow (h'_k)$, а переключение $(j) \rightarrow (j')$ будем делать, только если нет возможности сделать переключение $(i_k) \rightarrow (i'_k)$ для $k \geq 0$. Переключение $(i'_0) \rightarrow (i_0)$ будем делать, только если фрагмент (i'_0) не пересекается с фрагментом (d'_k) ,

Рис. 14. Переключения начала ломаных².

а переключение $(j') \rightarrow (j)$ будем делать, только если фрагмент (j') не пересекается с фрагментом (c'_k) .

Если сделано четное число переключений, то пара ломаных будет лежать в \mathcal{B} , а если нечетное, то в \mathcal{B}' . Обозначим множество пар ломаных с четным и нечетным числом переключений через $\mathcal{E}(P, Q)$ и $\mathcal{O}'(P, Q)$.

Для переключений (g) вес qs меняется на st^2 ; (h_k) вес $q^{2k+1}r^3s^2t$ не меняется; (i_k) вес $q^{2k+1}r^3$ меняется на $q^{2k}r^3t^2$; (j) вес qr меняется на rt^2 . Следовательно, разность между суммой весов при нечетном числе переключений и при четном числе переключений равна произведению веса не затрагиваемых переключениями частей ломаных и некоторого количества множителей вида $qt - rs$ и $q^\alpha r^\beta s^\gamma (t^2 - q)$. Поскольку произведение первых членов в скобках будет соответствовать паре ломаных, не имеющих общих точек, т. е. паре ломаных из $\mathcal{M}_{i+1} \times \mathcal{M}_{i-1}$, знак плюс будет соответствовать нечетному количеству переключений, а знак минус — четному. Но каждый из множителей неотрицателен, следовательно, $w(\mathcal{E}(P, Q)) \leq w(\mathcal{O}'(P, Q))$.

При $i = 2k$ сделанные перестройки не охватывают еще одну пару ломаных, а именно случай, когда обе ломаные состоят из k звеньев q .

²На рисунке фрагмент (h_k) приведен для $k = 0$, при $k \geq 1$ в места, отмеченные жирными точками, нужно вставить по k звеньев q ; фрагмент (i_k) приведен для $k = 1$, при $k \geq 2$ в места, отмеченные жирными точками, нужно вставить по $k - 1$ звеньев q .

Эту пару можно заменить на ломаную, состоящую из звена t и $k - 1$ звена q , а также ломаную, состоящую из звена r , $k - 1$ звена q и звена s . От такой перестройки вес не уменьшается (только здесь используется неравенство $q^2 \leq rst$), а новая ломаная не могла быть получена никакими иными перестройками.

Для завершения доказательства осталось повторить рассуждение, аналогичное окончанию доказательства теоремы 1. \square

Замечания. **1.** При $q = t^2$ и $rs = t^3$ рассуждение можно сильно упростить по аналогии с упрощением доказательства теоремы 1.

2. Модифицировав последний абзац доказательства можно понять, что при $rs \leq qt$ и $q \leq t^2$ последовательность $a_{i,i}$ логарифмически выпукла при достаточно больших i .

3. Аналогичными рассуждениями (но с гораздо более утомительным разбором ситуаций, когда одна ломаная проходит через начало или конец другой ломаной) можно показать, что при условии $q \leq t^2$ и $q^2 \leq rst$ последовательность $a_{n+1,n}$ логарифмически выпукла.

§4. ЧИСЛО ВТОРИЧНЫХ СТРУКТУР РНК И ДРУГИЕ ЧАСТНЫЕ СЛУЧАИ

Предложение. Производящая функция для последовательности $a_{n,n}$ равна

$$\frac{b(x) - \sqrt{b^2(x) - 4rsx^3}}{2rsx^3}, \quad \text{где } b(x) = 1 - tx - qx^2.$$

Доказательство. Положим $A_k(x) = \sum_{n=0}^{\infty} a_{k+n,n}x^n$. Из рекуррентного соотношения (1) легко вывести соотношения для производящей функции $A_k(x)$:

$$A_0(x) - 1 = qx^2A_0(x) + sx^2A_1(x) + txA_0(x) \quad \text{и}$$

$$A_k(x) = qx^2A_k(x) + sx^2A_{k+1}(x) + rxA_{k-1}(x) + txA_k(x) \quad \text{при } k \geq 1.$$

Положим для краткости $p(x) = (1 - tx - qx^2)/(sx^2)$. Тогда

$$A_1(x) = p(x)A_0(x) - \frac{1}{sx^2} \quad \text{и} \tag{5}$$

$$A_{k+1}(x) = p(x)A_k(x) - \frac{r}{sx}A_{k-1}(x) \quad \text{при } k \geq 1.$$

По общей формуле решения рекуррентного соотношения имеем

$$A_k(x) = \alpha(x)f^k(x) + \beta(x)g^k(x) \quad \text{при } k \geq 0,$$

где $f(x)$ и $g(x)$ корни характеристического уравнения $u^2 - p(x)u + \frac{r}{sx} = 0$. Поскольку $f(x)g(x) = \frac{r}{sx}$, лишь у одного из решений $f(x)$ и $g(x)$ все коэффициенты при отрицательных степенях x равны нулю, для определенности у $f(x)$. Тогда $\beta(x) = 0$, поскольку в противном случае при достаточно больших k у $A_k(x)$ появились бы ненулевые коэффициенты при отрицательных степенях x . Таким образом,

$$A_k(x) = \alpha(x)f^k(x) = A_0(x)f^k(x) \quad \text{при } k \geq 0.$$

Теперь $A_0(x)$ можно найти из первого равенства (5):

$$A_0(x) = \frac{1}{sx^2(p(x) - f(x))} = \frac{b(x) - \sqrt{b^2(x) - 4rsx^3}}{2rsx^3},$$

где $b(x) = 1 - tx - qx^2$. □

Определение. Вторичной структурой РНК называется граф имеющий n вершин, ребра которого бывают двух типов:

- а) вершины i и $i + 1$ соединены ребром первого типа при всех $i \leq n - 1$;
- б) из каждой вершины выходит не более одного ребра второго типа;
- в) если вершины i и j , а также вершины k и ℓ соединены ребрами второго типа, причем $i < k < j$, то $i < \ell < j$.

Числа вторичных структур РНК в математической литературе появились в статье Ватермана [32]. Их комбинаторные аспекты обсуждаются в статье [20]. Исследованию их поведения посвящено более сотни статей, обширную библиографию можно найти, например, в работах [10, 13].

Следствие 1. Пусть $q = r = s = t = 1$, тогда $a_{n,n}$ — количество вторичных структур РНК на n вершинах.

Доказательство. Производящая функция для последовательности $a_{n,n}$ равна

$$\frac{1 - x - x^2 - \sqrt{1 - 2x - x^2 - 2x^3 + x^4}}{2x^3},$$

что соответствует последовательности количеств вторичных структур РНК (см., например, [28] или [35, последовательность A004148]), сдвинутой на 1 влево. □

Следствие 2. Последовательность количеств вторичных структур РНК логарифмически выпукла.

Замечания. 1. При $q = r = s = t = 1$ производящая функция для последовательности $a_{n+1,n}$ равна

$$\frac{(1 - 2x - x^2 - \sqrt{1 - 4x + 2x^2 + x^4})^2}{2x^5}.$$

Это соответствует сдвинутой на 3 влево последовательности A166297 из [35].

2. При $q = r = s = 1$ и $t = 2$ производящая функция для последовательности $a_{n,n}$ равна

$$\frac{1 - 2x - x^2 - \sqrt{1 - 4x + 2x^2 + x^4}}{2x^3}.$$

Это соответствует сдвинутой на 2 влево последовательности обобщенных чисел Каталана A025242 [35] (рекуррентное соотношение $c_n = c_1c_{n-1} + c_2c_{n-2} + \dots + c_{n-3}c_3$ при $n \geq 4$) (см. также [27] и последовательности A082582 и A086581).

3. При $q = r = s = 1$ и $t = 3$ производящая функция для последовательности $a_{n,n}$ равна

$$\frac{1 - 3x - x^2 - \sqrt{1 - 6x + 7x^2 + 2x^3 + x^4}}{2x^3}.$$

Это соответствует последовательности A178578, а также последовательности обобщенных чисел Каталана A025254 (рекуррентное соотношение $c_n = c_1c_{n-1} + c_2c_{n-2} + \dots + c_{n-3}c_3$ при $n \geq 4$), сдвинутой на 2 влево.

Все эти последовательности также являются логарифмически выпуклыми.

Предложение. Производящая функция для треугольника $b_{k,n}$ равна

$$B(x, y) = \frac{1}{1 - (qx^2y^2 + rx^2y + sxy^2 + txy)} = \sum_{k,n=0}^{\infty} b_{k,n}x^k y^n.$$

Доказательство. Напишем разложение функции $B(x, y)$ по степеням $qx^2y^2 + rx^2y + sxy^2 + txy$:

$$B(x, y) = 1 + (qx^2y^2 + rx^2y + sxy^2 + txy) + (qx^2y^2 + rx^2y + sxy^2 + txy)^2 + \dots$$

Раскроем здесь скобки непосредственно, не приводя подобные члены и не переставляя сомножители, а только вынося коэффициенты из одночленов. Каждый одночлен $x^k y^n$ будет записан в виде «слова», состоящего из «букв» x^2y^2 , x^2y , xy^2 и xy . Каждое такое произведение можно

интерпретировать как ломаную, где x^2y^2 соответствует первое звено на рис. 2, x^2y — второе звено, xy^2 — третье, xy — четвертое, а коэффициент перед «словом» будет равен весу ломаной. Тогда всевозможным одночленам $x^k y^n$ будут соответствовать ломаные на клетчатой плоскости, идущие из точки $(0, 0)$ в точку (k, n) . \square

Следствие 3. Производящая функция последовательности $b_{n,n}$ равна

$$C(x) = \frac{1}{\sqrt{b^2(x) - 4rsx^3}}, \quad \text{где } b(x) = 1 - tx - qx^2.$$

Доказательство. Степенной ряд для функции $B(x, y)$ будет сходящимся в некоторой окрестности нуля, т.е. при $|x| < \varepsilon$ и $|y| < \varepsilon$ для некоторого $\varepsilon > 0$. Возьмем теперь $|x| < \varepsilon^3$ и рассмотрим функцию

$$H(z) = B\left(z, \frac{x}{z}\right) = -\frac{z}{rxz^2 - b(x)z + sx^2}.$$

Она представляет собой ряд Лорана $\sum_{k,n=0}^{\infty} b_{k,n} z^k \left(\frac{x}{z}\right)^n$ по степеням z (и по неотрицательным степеням x). Этот ряд заведомо сходится в кольце $\varepsilon^2 < |z| < \varepsilon$, а сама функция $H(z)$ рациональна и задана во всей комплексной плоскости. Требуемая производящая функция $C(x)$ — это коэффициент при нулевой степени z в этом ряде. Он вычисляется с помощью интегральной теоремы Коши:

$$C(x) = \frac{1}{2\pi i} \int_{|z|=\rho} \frac{H(z) dz}{z} = \sum \operatorname{res} \frac{H(z)}{z},$$

где интегрирование ведется по любой окружности, лежащей в кольце сходимости, а вычеты берутся по особым точкам, попавшим в окружность. Особые точки функции $\frac{H(z)}{z}$ равны $\frac{b(x) \pm \sqrt{b(x)^2 - 4rsx^3}}{2rx}$ и только точка со знаком минус оказывается внутри контура интегрирования, поэтому осталось лишь посчитать вычет в этой точке. \square

Замечания. 1. Комбинаторные треугольники $b_{i,j}$ не очень популярны. В [35] встречается исключительно треугольник для $q = r = s = t = 1$, это A125250. Главные диагонали треугольников $b_{i,j}$ в [35] встречаются чаще.

2. При $q = r = s = t = 1$ производящая функция последовательности $b_{n,n}$ равна

$$\frac{1}{\sqrt{1 - 2x - x^2 - 2x^3 + x^4}},$$

что является производящей функцией последовательности A051286.

3. При $q = r = s = 1$ и $t = 2$ производящая функция последовательности $b_{n,n}$ равна

$$\frac{1}{\sqrt{1 - 4x + 2x^2 + x^4}},$$

что является производящей функцией последовательности A108626.

4. При $q = s = 1$ и $r = t = 2$ производящая функция последовательности $b_{n,n}$ равна

$$\frac{1}{\sqrt{1 + x^2}\sqrt{1 - 4x + x^2}},$$

что является производящей функцией последовательности A101500.

В заключение автор выражает благодарность К. П. Кохасю за полезные обсуждения, а также анонимному рецензенту, замечания которого позволили исправить огрехи и улучшить текст статьи.

СПИСОК ЛИТЕРАТУРЫ

1. К. Кохась, А. Храбров, *Точки на прямых, шпурки и доминошки*. — Матем. просвещение (2015), 139–163.
2. M. Aigner, *Motzkin numbers*. — European J. Combin. **19** (1998), 663–675.
3. M. Aigner, *Catalan-like numbers and determinants*. — J. Combinatorial Theory, Ser. A **87** (1999), 33–51.
4. M. Aigner, *Enumeration via ballot numbers* // Discr. Math. **308**, 2008. P. 2544–2563.
5. E. A. Bender, E. R. Canfield, *Log-concavity and related properties of the cycle index polynomials*. — J. Combinatorial Theory, Ser. A **74** (1996), 57–70.
6. M. Bóna, A. Ehrenborg, *A combinatorial proof of the log-concavity of the numbers of permutations with k runs*. — J. Combinatorial Theory, Ser. A **90** (2000), 293–303.
7. P. Brändén, *Unimodality, log-concavity, real-rootedness and beyond*. — Handbook of enumerative combinatorics. CRC Press (2015), 437–483.
8. F. Brenti, *Log-concavity and combinatorial properties of Fibonacci lattices*. — European J. Combin. **12** (1991), 459–476.
9. F. Brenti, *Log-concave and unimodal sequences in algebra, combinatorics, and geometry: An update*. — Contemp. Math. **178** (1993), 71–89.
10. A. C. Bura, Qijun He, C. M. Reidys, *Loop homology of bi-secondary structures*. — Discrete Math. **344**, No. 6 (2021), Art. 112371.
11. D. Callan, *Notes on Motzkin and Schröder numbers*. — 2000, preprint <http://www.stat.wisc.edu/~callan/notes/>
12. E. R. Canfield, *Engel's inequality for Bell numbers*. — J. Combin. Theory Ser. A **72**, No 1 (1995), 184–187.
13. P. Clote, E. Kranakis, D. Krizanc, *Asymptotic number of hairpins of saturated RNA secondary structures*. — Bull. Math. Biol. **75** (2013), 2410–2430.
14. T. Došlić, D. Veljan, *Logarithmic behavior of some combinatorial sequences*. — Discr. Math., **308** (2008), 2182–2212.

15. T. Došlić, D. Svrtan, D. Veljan, *Enumerative aspects of secondary structures*. — *Discr. Math.* **285** (2004), 67–82.
16. T. Došlić, *Seven (lattice) paths to log-concavity*. — *Acta Appl. Math.* **110** (2010), 1373–1392.
17. K. Engel, *On the average rank of an element in a filter of the partition lattice*. — *J. Combin. Theory, Ser. A* **64** (1994), 67–78.
18. H. Han, S. Seo, *Combinatorial proofs of inverse relations and log-concavity for Bessel numbers*. — *Europ. J. Combin.* **29** (2008), 1544–1554.
19. L. H. Harper *Stirling behavior is asymptotically normal*. — *Ann. Math. Statist.* **38** (1967), 410–414.
20. I. L. Hofacker, P. Schuster, P. F. Stadler, *Combinatorics of RNA secondary structures*. — *Discrete Appl. Math.*, **88** (1998), 207–237.
21. C. Krattenthaler, *Combinatorial proof of the log-concavity of the sequence of matching numbers*. — *J. Combinatorial Theory, Ser. A* **74** (1996), 351–354.
22. D. C. Kurtz, *A note on concavity properties of triangular arrays of numbers*. — *J. Combinatorial Theory, Ser. A* **13** (1972), 135–139.
23. E. H. Lieb, *Concavity properties and a generating function for Stirling numbers*. — *J. Combinatorial Theory* **5** (1968), 203–206.
24. L. L. Liu, Y. Wang, *On the log-concavity of combinatorial sequences*. — *Adv. Appl. Math.* **39** (2007), 453–476.
25. I. Mező, *Combinatorics and number theory of counting sequences*. CRC Press, 2020.
26. B. E. Sagan, *Inductive and injective proofs of log-concavity results*. — *Discrete Math.* **68** (1988), 281–292.
27. A. Sapounakis, I. Tasoulas, P. Tsikouras, *Counting strings in Dyck paths*. — *Discrete Math.* **307** (2007), 2909–2924.
28. P. R. Stein, M. S. Waterman, *On some new sequences generalizing the Catalan and Motzkin numbers*. — *Discrete Math.* **26** (1979), 261–272.
29. R. P. Stanley, *Log-concave and unimodal sequences in algebra, combinatorics, and geometry*. — *Ann. New York Acad. Sci.* **576** (1989), 500–535.
30. H. Sun, Y. Wang, *A combinatorial proof of the log-concavity of Catalan-like numbers*. — *J. Integer Sequences* **17** (2014), article 14.5.2.
31. Y. Wang, Zh.-H. Zhang, *Log-concavity of Aigner–Catalan–Riordan numbers*. — *Linear Alg. Appl.* **463** (2014), 45–55.
32. M. S. Waterman, *Secondary structures of single stranded nucleic acids*. — In: *Studies on Foundations and Combinatorics. Advances in Mathematics Supplementary Studies, Vol. I*, Academic Press, New York, 1978, pp. 167–212.
33. B. X. Zhu, *Log-concavity and strong q -log-concavity for some triangular arrays*. — *Adv. Appl. Math.* **50** (2013), 595–606.
34. B. X. Zhu, *Some positivitiies in certain triangular arrays*. — *Proc. Amer. Math. Soc.* **142**, No. 9 (2014), 2943–2952.
35. The online Encyclopedia of integer sequences <http://oeis.org/>

Khrabrov A. I. Injective proofs of log concavity for some combinatorial sequences.

The paper provides a new combinatorial interpretation of the number of RNA secondary structures and some other Catalan-like numbers. On the basis of this interpretation a combinatorial proof of their logarithmic convexity is given.

Высшая Школа Экономики
Санкт-Петербургская школа
физико-математических и компьютерных наук
194100, ул. Кантемировская, 3, корп. 1, лит. А,
Санкт-Петербург, Россия

Поступило 28 октября 2022 г.

Санкт-Петербургский Государственный Университет
Факультет математики и компьютерных наук
199178, 14 линия В.О., дом 29Б, Санкт-Петербург, Россия
E-mail: aikhrabrov@mail.ru